

Эти выражения с точностью до значений постоянных C_1 и C_2 совпадают с (4.93). Используя (4.101) и граничные условия (4.94), найдем из них C_1 и C_2 и придем к формулам (4.95), выражающим решение этой задачи. Заметим попутно, что при известных напряжениях легко определяются и перемещения u с помощью формулы $\sigma_\theta = u/r = (\sigma_\theta - \mu\sigma_r)/E$, откуда

$$u = \frac{1}{E} (\sigma_\theta - \mu\sigma_r) r. \quad (4.102)$$

Заметим, что функция φ (4.99) и формулы (4.100) дают более богатый набор осесимметричных полей напряжений, чем в задаче Ляме. Любопытным является вопрос, почему решение в перемещениях дало единственное осесимметричное поле напряжений (задача Ляме), а решение в напряжениях — множество таких полей. Ответ состоит в том, что в первом случае осесимметричными являются как поле напряжений, так и поле перемещений и такое решение (при $u \neq 0$ и $v = 0$) действительно единственное и выражается задачей Ляме. Во втором случае осесимметрично только поле напряжений (4.100) и соответствующие им деформации, а перемещения u и v в общем случае не симметричны.

Примером указанного состояния может служить изгиб кривого бруса с сечением в виде прямоугольника $(b-a) \times 1$ под действием моментов M (рис. 4.46).

Решение этой задачи, найденное

Х. С. Головиным в 1881 г., может быть получено по формулам (4.100), в которых три постоянные C_1 , C_2 , C_3 определяются из трех условий: равенства нулю σ_r на границах $r = a$ и $r = b$ и того, что эпюра напряжений σ_θ в радиальном сечении приводится к моменту M . Во всех радиальных сечениях, включая сечения, где приложены моменты M , напряжения одинаково распределены, т. е. поле напряжений полярно-симметрично. В то же время перемещения u и v будут несимметричны.

§ 4.13. НЕОСЕСИММЕТРИЧНЫЕ ПОЛЯ НАПРЯЖЕНИЙ

Действие силы на край упругой полуплоскости (задача Фламана). Под упругой полуплоскостью понимается бесконечная пластина толщиной, равной единице, ограниченная плоскостью $x = 0$ (рис. 4.47). Пусть перпендикулярно ее краю приложена сила P , равномерно распределенная по толщине. Такая пластина будет испытывать плоское напряженное состояние.

На рис. 4.48 показано загружение упругого полупространства (т. е. бесконечного объема) упругого материала, ограниченного пло-

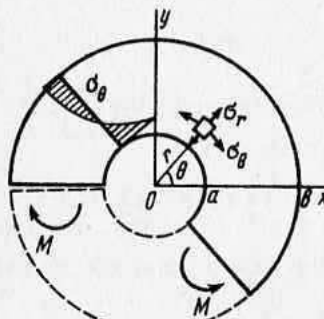


Рис. 4.46

скостью $x = 0$) линейно распределенной нагрузкой интенсивности $P = \text{const}$. Слой единичной толщины, выделенный из полупространства, также соответствует условиям рассматриваемой задачи, но будет испытывать плоское деформированное состояние. В подобных условиях находится основание под очень длинным равномерно загруженным ленточным фундаментом. Распределение напряжений

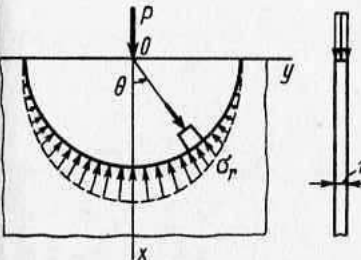


Рис. 4.47

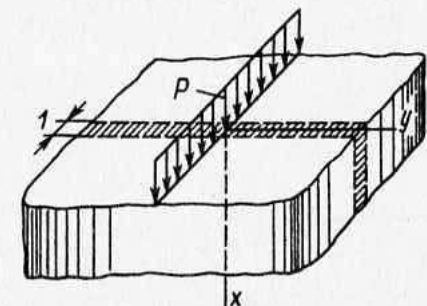


Рис. 4.48

в плоскости $x - y$, как известно, в указанных случаях будет одинаковым (см. § 4.2).

Функцию φ , удовлетворяющую уравнению совместности деформаций (4.88), задаем в виде

$$\varphi = Kr \Theta \sin \Theta, \quad (4.103)$$

где $K = \text{const}$. По формулам (4.84) вычисляем напряжения:

$$\left. \begin{aligned} \sigma_r &= \frac{1}{r} \frac{\partial \varphi}{\partial r} + \frac{1}{r^2} \frac{\partial^2 \varphi}{\partial \Theta^2} = 2K \frac{1}{r} \cos \Theta; \\ \sigma_\theta &= \frac{\partial^2 \varphi}{\partial r^2} = 0; \quad \tau_{r\theta} = -\frac{\partial}{\partial r} \left(\frac{1}{r} \frac{\partial \varphi}{\partial \Theta} \right) = 0. \end{aligned} \right\} \quad (4.104)$$

Как видим, функции φ (4.103) соответствуют в каждой точке пластины линейное напряженное состояние с напряжением σ_r в направлении радиуса r . Такое поле напряжений называют радиальным (см. рис. 4.47).

Для определения константы K вырежем из пластины полукруг радиуса r (рис. 4.49). Элементарные силы $\sigma_r dS$ пересекаются в точке O ; следовательно, они приводятся к силе, как их равнодействующей, приложенной в этой точке. Сумма проекций всех сил на ось x дает

$$P + 2 \int_0^{\pi/2} \sigma_r dS \cos \Theta = P + 4K \int_0^{\pi/2} \cos^2 \Theta d\Theta = P + K\pi = 0.$$

Отсюда получаем $K = -P/\pi$ и окончательное выражение для напряжений

$$\sigma_r = -\frac{2P}{\pi r} \cos \Theta. \quad (4.105)$$

При $r \rightarrow 0$ $\sigma_r \rightarrow \infty$. Эта особенность в точке O связана с идеализацией сосредоточенной силы конечной величины P , передаваемой через бесконечно малую площадь. При реальном приложении воздействия типа сосредоточенной силы образуется контактная зона малых, но конечных размеров. Поэтому в некотором объеме малого радиуса $r = \delta$ распределение напряжений будет отличным от описываемого выражением (4.105). При $r > \delta$, согласно принципу Сен-Венана, оно будет соответствовать этому выражению (4.105) (см. также § 5.5).

Зная распределение напряжений в полярной системе координат, легко можно перейти к напряжениям σ_x , σ_y , τ_{xy} в декартовой системе координат.

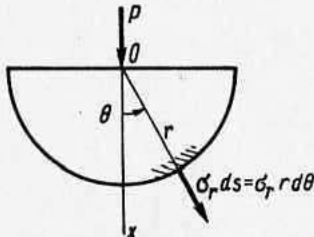


Рис. 4.49

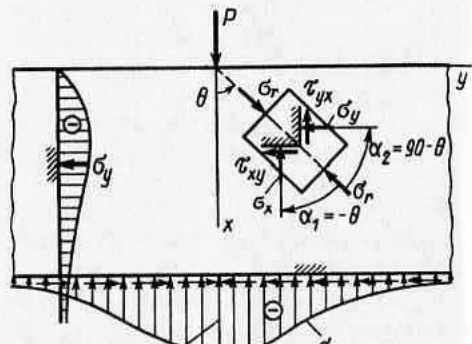


Рис. 4.50

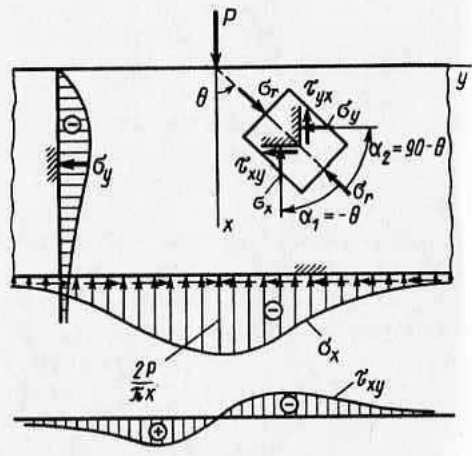


Рис. 4.51

ме, что бывает нужным при решении различных прикладных задач. Напомним формулы для напряжений σ_α и τ_α при одноосном напряженном состоянии (рис. 4.50):

$$\sigma_\alpha = \sigma \cos^2 \alpha = \frac{1}{2} (1 + \cos 2\alpha) \sigma; \quad \tau_\alpha = \frac{1}{2} \sigma \sin 2\alpha. \quad (4.106)$$

Подставляя эти формулы для горизонтальной площадки $\alpha_1 = -\Theta$, а для вертикальной $\alpha_2 = 90 - \Theta$ (рис. 4.51) и выражение для σ_r (4.105), получим

$$\left. \begin{aligned} \sigma_x &= -\frac{2P}{\pi r} \cos^3 \Theta; & \tau_{xy} &= -\frac{2P}{\pi r} \sin \Theta \cos^2 \Theta; \\ \sigma_y &= -\frac{2P}{\pi r} \cos \Theta \sin^2 \Theta. \end{aligned} \right\} \quad (4.107)$$

Заменяя по формулам $\sin \Theta = y/r$; $\cos \Theta = x/r$, $r = \sqrt{x^2 + y^2}$, выражения (4.107) легко записать полностью в декартовой системе координат. На рис. 4.51 показано распределение напряжений в горизонтальном и вертикальном сечениях.

Важная роль решения Фламана состоит в том, что формулы этого решения могут играть роль функций влияния для произвольной нагрузки q , приложенной к краю основания. Пусть, например, от некоторой заданной нагрузки $q(y_1)$ требуется вычислить напряжение в точке $\sigma_x(x, y)$ (рис. 4.52). Обозначим выражение для σ_x (4.107) при $P = 1$ через $\Phi(x, y)$, которое называют функцией влияния единичной силы на напряжение σ_x . Тогда от элементарной силы $dP = q(y_1) dy_1$, в рассматриваемой точке возникает напряжение

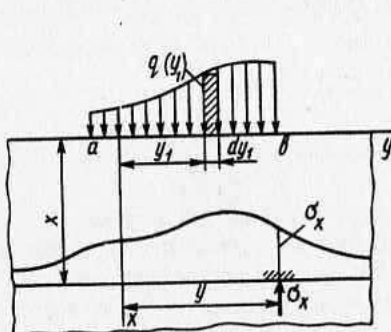


Рис. 4.52

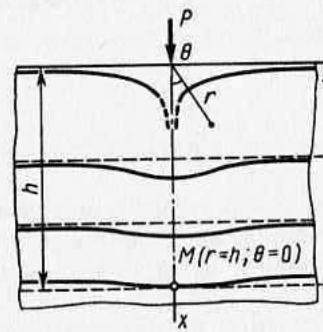


Рис. 4.53

$d\sigma_x = \Phi(x, y - y_1) q(y_1) dy_1$, а полное напряжение σ_x в этой точке от нагрузки q получим, суммируя влияние всех элементарных сил на участке ab :

$$\sigma_x = \int_a^b d\sigma_x = \int_a^b \Phi(x, y - y_1) q(y_1) dy_1. \quad (4.108)$$

С помощью выражений типа (4.108) и соответствующих функций влияния можно вычислить любые факторы в основании от действий приложенных на его крае.

В заключение остановимся на определении перемещений u , v точках упругой полуплоскости от силы P . При известных напряжениях σ_r (4.105) и $\sigma_\theta = \tau_{r\theta} = 0$ по закону Гука определяем деформации ε_r , ε_θ и $\gamma_{r\theta}$ и подставляем их в геометрические уравнения (4.82). В результате получим

$$\left. \begin{aligned} \frac{\partial u}{\partial r} &= -\frac{2P}{\pi Er} \cos \Theta; \\ \frac{1}{r} \frac{\partial v}{\partial \Theta} + \frac{u}{r} &= \mu \frac{2P}{\pi Er} \cos \Theta; \\ \frac{1}{r} \frac{\partial u}{\partial \Theta} + \frac{\partial v}{\partial r} - \frac{v}{r} &= 0. \end{aligned} \right\} \quad (4.109)$$

Интегрируя эти уравнения совершенно аналогично тому, как это было показано на примерах в § 2.6, получим выражения u и v ,

в которые войдут три произвольные постоянные, которые надо определить исходя из условий закрепления деформируемого элемента как жесткого целого. В данном случае примем условия закрепления упругой полуплоскости такими: некоторая точка M , лежащая на оси симметрии на глубине $r = h$, неподвижна, что дает условия $u_M = 0$; $v_M = 0$ (рис. 4.53). Третье уравнение составим как условие симметрии, в качестве которого примем отсутствие поворота горизонтальных элементов на оси симметрии: $\partial u / \partial \Theta = 0$ при $\Theta = 0$. В результате придем к выражениям для радиального и тангенциального перемещений u и v :

$$u = \frac{2P}{\pi E} \ln \frac{h}{r} \cos \Theta - \frac{(1-\mu)P}{\pi E} \Theta \sin \Theta; \quad (4.110)$$

$$v = -\frac{2P}{\pi E} \ln \frac{h}{r} \sin \Theta - \frac{(1-\mu)P}{\pi E} \Theta \cos \Theta + \frac{(1+\mu)P}{\pi E} \sin \Theta. \quad (4.111)$$

Для точек правой полусоси y следует положить $r = y$, $\Theta = \pi/2$, и тангенциальные перемещения v дадут вертикальную компоненту перемещений края полуплоскости. Знак минус указывает, что они происходят в направлении убывания координаты Θ , т. е. вниз. Меняя этот знак на обратный, получим выражение для прогибов правого края полуплоскости в виде

$$v = \frac{P}{\pi E} \left[2 \ln \frac{h}{y} - (1+\mu) \right]. \quad (4.112)$$

Для левого края они симметричны [для этого y надо в (4.112) принимать по абсолютному значению]. На рис. 4.53 показаны эпюры вертикальных прогибов для края полуплоскости по (4.112), а на других уровнях — по выражениям (4.110), (4.111).

Как видим, в точке приложения силы имеется особенность в перемещениях: они, как и напряжения, стремятся к бесконечности. Это, как уже указывалось, является следствием схематизации сосредоточенной силы, приложенной в точке. Если воспользоваться выражениями (4.112) или (4.110), (4.111) как функциями влияния, то по выражению типа (4.108) от распределенной нагрузки, приложенной к краю, получим конечные перемещения.

Действие силы на острие бесконечного клина. Эти задачи (рис. 4.54, 4.55) являются обобщением задачи Фламана. Приняв функцию напряжений в том же виде, что и (4.103), придем к радиальному полю напряжений (4.104). Константу K найдем из условия равновесия части клина, выделенной окружным сечением, аналогично рис. 4.49. Угол Θ отсчитываем от направления силы P (от оси x). По сравнению с рис. 4.49 при определении K изменятся лишь пределы интегрирования: вместо пределов от $\Theta = 0$ до $\Theta = \pi/2$ интегрировать надо от $\Theta = 0$ до $\Theta = \alpha$ (рис. 4.54) и от $\Theta = \frac{\pi}{2} - \alpha$ до $\Theta = \pi$ (рис. 4.55). В результате напряжения σ_r будут (соответ-

ственно для рис. 4.54 и 4.55)

$$\sigma_r = -\frac{P}{\alpha + 0,5 \sin 2\alpha} \frac{\cos \Theta}{r}; \quad (4.113)$$

$$\sigma_r = -\frac{P}{\alpha - 0,5 \sin 2\alpha} \frac{\cos \Theta}{r}. \quad (4.114)$$

При $\alpha = \pi/2$ формулы (4.113) и (4.114) приводят к (4.105). При этом случай, изображенный на рис. 4.55, соответствует загружению упругой полуплоскости силой P , параллельной ее краю (рис. 4.56).

Имеются и другие точные решения для бесконечного клина. Они, в частности, могут быть использованы для проверки и уточнения

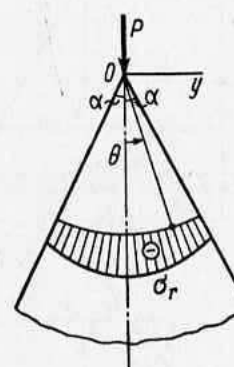


Рис. 4.54

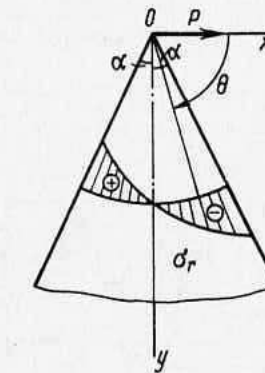


Рис. 4.55

элементарных формул сопротивления материалов. Так, например, в случае изгиба клина (см. рис. 4.55) для напряжений σ_y и τ_{yx} в сечении, параллельном оси x , с использованием (4.114) и (4.106) получим формулы

$$\sigma_y = -\frac{P}{\alpha - 0,5 \sin 2\alpha} \frac{xy^2}{(x^2 + y^2)^2}; \quad (4.115)$$

$$\tau_{yx} = -\frac{P}{\alpha - 0,5 \sin 2\alpha} \frac{x^2 y}{(x^2 + y^2)^2}. \quad (4.116)$$

На рис. 4.57 для $\alpha = 30^\circ$ по этим выражениям построены эпюры σ_y и τ_{yx} , пунктиром нанесены эпюры тех же напряжений, найденных по элементарным формулам сопротивления материалов, в которых переменность сечения не учитывается. Как видим, учет переменности сечения особенно необходим для касательных напряжений.

Растяжение пластины с круглым отверстием (задача Кирша). Пусть радиус отверстия a в несколько раз меньше ширины пластины. Тогда можно считать, что имеем бесконечную пластину, растянутую напряжением $\sigma_x = \sigma$ и имеющую отверстие радиуса a (рис. 4.58). Выделим из пластины кольцо достаточно большого радиуса $r = b$. Тогда от отверстия имеется простое растяжение $\sigma_x = \sigma$, поэтому по формулам (4.106) для наклонных площадок найдем напряжения